

کائی شناسی، زمین‌شیمی و سن پرتوسنجی دایک‌های مافیک موجود در مجموعه‌ی دگرگون دلبر، بیارجمند (جنوب شرق شاهروド)

ذری بلاغی^۱، محمود صادقیان^۱، حبیب‌اله قاسمی^۱، محمد محجّل^۲، مینگو جای^۳

۱- دانشکده علوم زمین، دانشگاه صنعتی شاهروود

۲- دانشکده علوم زمین، دانشگاه تربیت مدرس

۳- مؤسسه زمین شناسی و ژئوفیزیک، آکادمی علوم چین و دانشگاه نورث وست (شمال غرب)، چین.

(دریافت مقاله: ۹۲/۴/۲۹، نسخه نهایی: ۹۲/۴/۲۹)

چکیده: مجموعه‌ی دگرگون دلبر در جنوب شرقی شاهروود متشکل از انواع شیست‌ها، آمفیبولیت‌ها و گنایس‌های با مناظر میگماتیتی به سن اواخر نئوپروتروزونیک (پرکامبرین) با استفاده از حداقل سه نسل دایک مافیک با سن‌های مختلف (پرکامبرین، ژوراسیک، ترشیری) قطع شده است. دایک‌های وابسته به ژوراسیک، مجموعه دگرگون پرکامبرین و سنگ‌های رسوبی تخریبی دگرگون شده تریاس بالایی- ژوراسیک زیرین (معادل با سازند شمشک) را قطع کرده‌اند ولی در آهک‌های ماسه‌ای ژوراسیک میانی و آهک‌های کرتاسه زیرین (نئوکومین) ادامه ندارند. آمفیبول‌های موجود در این دایک‌ها در گروه کلسیمی قرار داشته و از نوع ادنیت هستند. فشارسنجدی براساس میزان آلومینیم موجود در آمفیبول، بیانگر فشارهای ۴ تا ۵ کیلوبار برای تعادل نهایی این کائی است که با اعمال فشارسنجدی جایگزینی این دایک‌ها در پوسته همخوانی دارد. سال‌سنجدی به روش U-Pb روی آپاتیت‌های موجود در این ۱۵ کیلومتری جایگزینی ۱۵۲±35Ma را نشان می‌دهد که با روابط صحرایی و چینه‌شناختی کاملاً سازگار است. بر اساس ویژگی‌های زمین‌شیمیایی، این دایک‌ها دارای ماهیت قلیایی آهکی - قلیایی بوده، ماقمای سازنده آن‌ها از ذوب بخشی حدود ۱۵ درصدی یک خاستگاه گوشه‌ای اسپینل لرزولیتی ریشه گرفته است. این سنگ‌ها در یک محیط زمین‌ساختی کششی پشت کمان و در ارتباط با کشش‌های پوسته‌ی قاره‌ای ایران مرکزی در اثر فروزانش ورقی اقیانوسی نفوذیتیس به زیر آن تشکیل شده‌اند. این رویداد از پیامدهای ماقمایی فاز کوه‌زایی سیمیرین پسین است.

واژه‌های کلیدی: پرکامبرین؛ دایک‌های مافیک؛ سال‌سنجدی U-Pb؛ ژوراسیک؛ بیارجمند؛ شاهروود.

به مجموعه‌های دلبر، بند هزار چاه و میامی را قطع کرده‌اند بررسی‌های صحرایی صورت گرفته در برخی از این مناطق نظیر دلبر و بند هزار چاه، تعداد دایک‌ها به صدها تا هزاران می‌رسد به گونه‌ای که می‌توان آن‌ها را انباشت دایکی (Dyke Swarm) نامید. هدف این بررسی تعیین سن دقیق و رابطه‌ی دایک‌ها با مجموعه‌ی دگرگون و صرفاً روی دایک‌های وابسته به ژوراسیک صورت گرفته است که در زون‌های البرز و سندنج- سیرجان نیز

مقدمه

در لبه‌ی شمالی زون ایران مرکزی در منطقه‌ی بیارجمند در جنوب شرق شاهروود با موقعیت جغرافیایی $50^{\circ}45'N$ تا $49^{\circ}45'E$ طول شرقی و $35^{\circ}53'N$ تا $36^{\circ}5'N$ عرض شمالی، دایک‌های مافیک و توده‌های کوچک گابرو‌دیوریتی وابسته به چند نسل مختلف (نئوپروتروزونیک، ژوراسیک و ترشیری)، به تعداد فراوان مجموعه‌های آذرین- دگرگونی پرکامبرین ایران مرکزی، معروف

خصوص دایک‌ها، از آن‌ها نمونه‌برداری شد. در کارگاه مقطع گیری دانشکده‌ی علوم زمین دانشگاه صنعتی شاهروود، از دایک‌های مورد نظر، تعداد ۵۰ مقطع نازک میکروسکوپی و ۱۰ مقطع نازک-صیقلی تهیه شدند. پس از بررسی‌های دقیق میکروسکوپی روی مقاطع، تعدادی از نمونه‌های سالم‌تر با حداقل دگرسانی انتخاب و در آزمایشگاه ACME کانادا، به روش بسته ترکیبی با کدهای 4A، 4B به روش‌های ICP-AES و ICP-MS تجزیه شدند. نتایج تجزیه‌ی شیمیایی نمونه‌ها (جدول ۱) در ترسیم نمودارها و تعبیر و تفسیرهای زمین-شیمیایی و سنگ‌شناختی مورد استفاده قرار گرفته‌اند.

گزارش شده‌اند. در زون البرز، دایک‌های مافیک و توده‌های گلبرویی مشابهی، سازند شمشک را قطع کرده‌اند [۲، ۱]. به علاوه، در زون سندنج-سیرجان نیز در مجموعه‌های دگرگون بیشتر شبه پنهانی و توده‌های گرانیتوئیدی با میانگین سنی ۱۷۰ میلیون سال، دایک‌های مشابهی گزارش شده‌اند. برای مثال توده‌های نفوذی شیر کوه یزد [۳]، بوئین میاندشت [۴، ۵]، گل زرد [۶]، الوند [۷] و بروجرد [۸] هستند که به وسیله‌ی دایک‌ها یا توده‌های نفوذی مشابهی قطع شده‌اند.

روش بررسی

پس از بررسی‌های دقیق صحرایی، تعیین روابط واحدهای سنگی و تشخیص نسل‌های مختلف توده‌های نفوذی و به-

جدول ۱ نتایج تجزیه شیمی سنگ کل نمونه‌های مافیک منطقه‌ی دلبر.

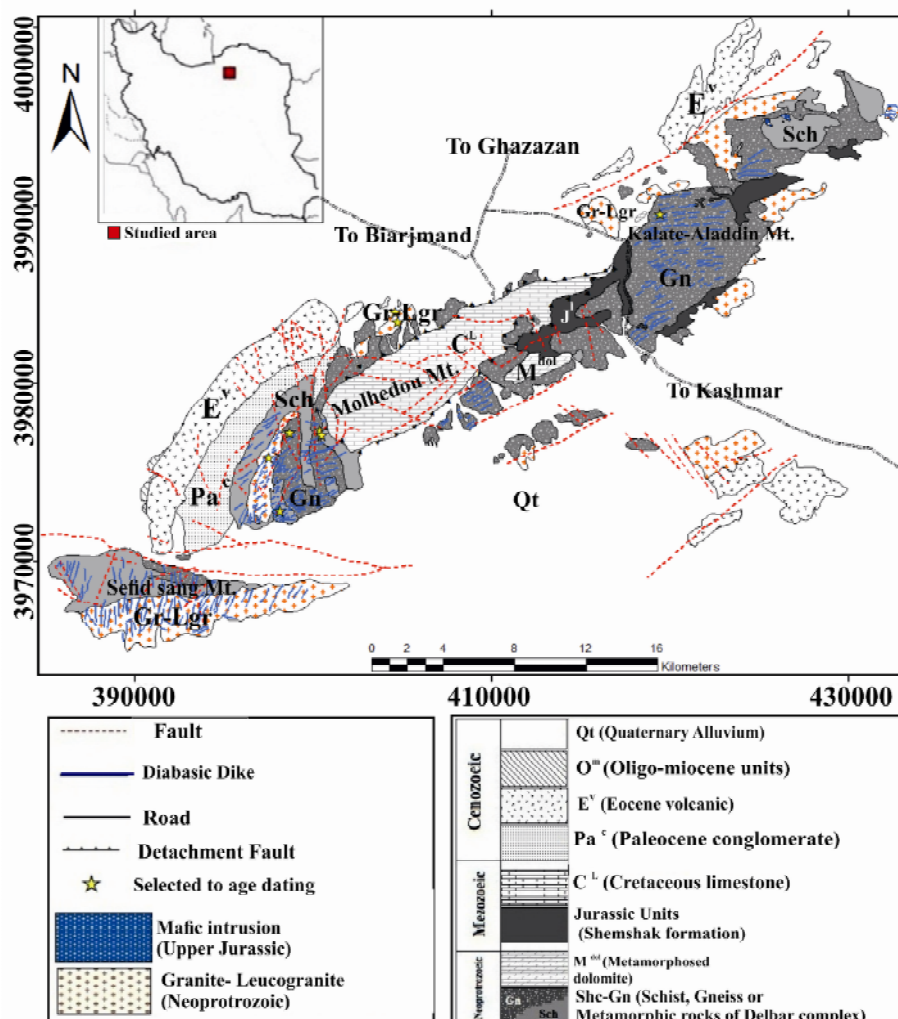
Region	Molheda Mountain and Allaeddine Mountain						Sefid sang area							
	B34	B2-1	B44-6	B83-I-2	B19-3	B104-4	dike	Mafic	MS04-3	MS04-1	MS16-3	MS09-1	MS04-5	MS03-4
Major elements (wt %)														
SiO ₂	۴۹.۷۲	۴۹.۹۵	۴۸.۷۵	۴۷.۱۵	۵۰.۵۲	۴۹.۸۴	۴۶.۱۴	۴۸.۷۸	۴۶.۱۵	۴۹.۱۱	۴۸.۶۰	۴۹.۵۲	۴۹.۵۲	
Al ₂ O ₃	۱۶.۴۶	۱۵.۷۹	۱۶.۳۴	۱۹.۸	۱۴.۵۲	۱۵.۱۸	۱۵.۳۳	۱۸.۰	۱۸.۵۰	۱۸.۱۳	۱۸.۲۳	۱۴.۷۸	۱۴.۷۵	
FeOt	۱۰.۱۵	۱۲.۱۴	۱.۶۶	۱۱.۴	۱۳.۷۱	۱۳.۱۶	۱۳.۲۳	۱۰.۵۱	۱۰.۱	۹.۸۰	۱۰.۲۳	۱۳.۱۹	۱۲.۸۳	
MgO	۷.۴	۵.۱۵	۷.۰۵	۴.۰۸	۴.۲۱	۵.۲۹	۸.۸۶۵	۵.۴۲	۴.۹۹	۶.۴۷	۵.۵۱	۴.۶۵	۵.۸۶	
CaO	۱۰.۵۱	۹.۴۹	۱۱.۱۹	۱۱.۲۸	۷.۹۱	۸.۰۵	۸.۶۰۴	۱۱.۷۷	۱۰.۰۱	۱۰.۹۹	۱۱.۰۸	۷.۹۳	۹.۶۶	
Na ₂ O	۳.۰	۳.۶۱	۳.۱۵	۳.۲۸	۴.۷۵	۴.۰۱	۳.۰۲۸	۳.۱۵	۲.۰۴	۲.۲۰	۲.۰۴	۴.۲۳	۳.۸۱	
K ₂ O	۰.۴۹	۰.۴۴	۰.۲۷	۰.۵۱	۰.۵۵	۰.۷۷	۱.۴۵	۰.۳۴	۰.۹۱	۰.۴۷	۰.۳۷	۱.۴۷	۰.۷۰	
TiO ₂	۱.۳۴	۲.۲۵	۱.۴۲	۱.۸۶	۲.۵۸	۲.۲۷	۲.۴۱	۱.۶۰	۰.۶۱	۱.۳۳	۱.۵۵	۲.۷۱	۲.۳۳	
P ₂ O ₅	۰.۱۶	۰.۲۱	۰.۱۵	۰.۲۸	۰.۸۱	۰.۳۴	۰.۶	۰.۱۷	۰.۰۸	۰.۲۱	۰.۱۶	۱.۰	۰.۳۲	
MnO	۰.۱۸	۰.۲	۰.۱۹	۰.۱۶	۰.۲۶	۰.۲۱	۰.۲۳	۰.۱۷	۰.۱۴	۰.۱۷	۰.۱۷	۰.۲۶	۰.۲۱	
Cr ₂ O ₃	۰.۰۲۹	۰.۱۷	۰.۰۳۶	۰.۰۰۹	۰.۰۰۹	۰.۰۱۳	۰.۰۴	۰.۰۲	۰.۰۱	۰.۰۳	۰.۰۲	۰.۰	۰.۰۱	
LOI	۱.۵	۱.۴	۱.۵	۱.۸	۰.۹	۲	۴	۰.۸	۱.۶	۱.۲	۲.۱	۱.۶		
Sum	۹۹.۷۵	۹۹.۷۹	۹۹.۷۸	۹۹.۸	۹۹.۸۲	۹۹.۹۴	۹۹.۰۳	۹۹.۹۸	۹۹.۹۵	۹۹.۹۹	۹۹.۹۹	۹۹.۹۹	۹۹.۹۹	
Norm (CIPW)														
Q	.	۱.۱۱	۹.۴۶۴	
Or	۲.۹-	۲.۶-	۱.۶-	۳.۰-۱	۲.۸۵	۴.۰۵	۸.۰۵	۲.۰-۲	۵.۶-	۲.۸۳	۲.۲۲	۸.۷۱	۴.۱۵	
Ab	۲۶.۰-۶	۳۰.۰۵	۲۶.۶۵	۲۷.۷۵	۴.۰-۹	۳۸.۱۶	۲۵.۰-۱	۲۶.۷۳	۱۷.۱۶	۲۷.۱۲	۲۵.۷۷	۳۵.۸۵	۳۲.۳-	
An	۲۹.۶۴	۲۵.۰۸	۲۹.۶۵	۳۷.۸۰	۱۶.۶۷	۱۸.۹	۲۳.۹۸	۳۴.۰-۷	۲۸.۶۳	۳۳.۹۸	۳۵.۰-۱	۱۶.۹۸	۲۱.-۴	
Ne	۰.۲۳	
Hy	۱۲.۲۳	۱۲.۲۳	۶.۲۳	۰.۴۸	۱.۸۳	۲.۰-۳	.	۵.۴۰	۱۳.۰-۶	۵.۹۳	۴.۴۰	۸.۵۰	۶.۰-۸	
Ol	۲.۶-	.	۶.۰-۸	۷.۴۴	۰.۹۳	۸.۷۷	۱۶.۵۷	۳.۵۰	.	۶.۰-۲	۴.۱۲	۲.۶۱	۳.۸۵	
Mt	۵.۵۱	۶.۴۶	۵.۹۲	۶.۰-۲	۶.۷۷	۷.۷۷	۷.۹۱	۶.۱-	۴.۷۰	۵.۶۹	۵.۹۳	۷.۶۵	۷.۴۴	
Hf	۱.۹	۲.۹	۲.۴	۱.۸	۶	۳.۹	۴.۳	۲.۲	۱.۶	۱.۸	۲.۲	۴.۳	۶.۵	
Nb	۳.۷	۵.۶	۲.۸	۸.۲	۷.۶	۶	۵.۰-۱	۳.۴	۲.۲	۶.۴	۲.۷	۱۵.۴	۹.۹	
Rb	۱۷.۲	۶.۴	۵.۴	۱۰.۰-۱	۷.۶	۱۶.۷	۴.۰-۵	۱۱	۳۱.۸	۱۸.۲	۱۴.۶	۵.۰-۱	۱۴.۹	
Sr	۲۸.۵۵	۲۶.۲۶	۲۸.۱	۵۰.۷۴	۲۵.۰-۶	۲۵.۳	۱۸.۶	۲۱.۷۶	۲۱.۳۹	۳۱.۸	۲۷.۴	۴۰.۹۳	۲۵.۷۳	
Ta	۰.۱	۰.۳	۰.۳	۰.۶	۰.۵	۰.۳	۳.۴	۰.۲	۰.۱	۰.۴	۰.۲	۱	۰.۵	
Th	۰.۶	۱.۱	۰.۴	۱.۳	۱.۲	۱.۶	۴.۷	۰.۶	۱.۸	۰.۶	۰.۶	۳	۲.۸	
U	۰.۱	۰.۳	۰.۲	۰.۴	۰.۶	۰.۶	۱.۳	۰.۳	۰.۴	۰.۱	۰.۱	۱.۲	۰.۷	
V	۲۲.۸	۲۶.۶	۲۲.۴	۲۳.۸	۱۷.۷	۳.۰-۵	۱۵.۸	۲۱.۷	۱۶.۲	۱۹.۹	۲۰.۷	۲۱.۱	۲۶.۶	
Zr	۱۸.۲	۱۵.۴۷	۸.۹۵	۸.۵	۲۱.۰۴	۱۵.۹	۱۸.۷۹	۱۰.۱۴	۴.۸۵	۸.۹۴	۹.۷۵	۱۶.۸۵	۲۲.۹	
Y	۲۲.۳	۳۸.۳	۲۵.۱	۱.۹	۵۰.۴	۳۷.۴	۱۹.۸	۲۶.۹	۱۴.۹	۲۲.۸	۲۶.۳	۴۱.۱	۲۲.۵	
Pb	۲.۳	۲.۶	۵.۴	۰.۹	۱.۷	۴.۳	۱.۵	۲.۷	۲.۸	۲.۵	۱.۵	۱.۰-۸	۲.۴	
Trace elements (ppm)														
Ba	۲۵-	۹۹	۵۴	۱.۰-۸	۹۶	۱۱۷	۳۳۴	۳.۵	۱۸.۹	۷۷	۳۴	۳۰-۱	۱۰-۳	
Cs	۰-۴	۰-۹	۲.۱	۱.۱	۰-۲	۱.۲	۱.۵	۱.۵	۱.۴	۰-۸	۱.۳	۱.۱	۱.۱	
Ga	۱۵۲	۱۸	۱۵۶	۱۷.۶	۲۰.۷	۱۸.۱	۱۶.۹	۴.۳	۱۳.۸	۱۴.۸	۱۶	۱۷	۱۷	
Hf	۱.۹	۲.۹	۲.۴	۱.۸	۶	۳.۹	۴.۳	۲.۲	۱.۶	۱.۸	۲.۲	۴.۳	۶.۵	
Nb	۳.۷	۵.۶	۲.۸	۸.۲	۷.۶	۶	۵.۰-۱	۳.۴	۲.۲	۶.۴	۲.۷	۱۵.۴	۹.۹	
Rb	۱۷.۲	۶.۴	۵.۴	۱۰.۰-۱	۷.۶	۱۶.۷	۴.۰-۵	۱۱	۳۱.۸	۱۸.۲	۱۴.۶	۵.۰-۱	۱۴.۹	
Sr	۲۸.۵۵	۲۶.۲۶	۲۸.۱	۵۰.۷۴	۲۵.۰-۶	۲۵.۳	۱۸.۶	۲۱.۷۶	۲۱.۳۹	۳۱.۸	۲۷.۴	۴۰.۹۳	۲۵.۷۳	
Ta	۰.۱	۰.۳	۰.۳	۰.۶	۰.۵	۰.۳	۳.۴	۰.۲	۰.۱	۰.۴	۰.۲	۱	۰.۵	
Th	۰.۶	۱.۱	۰.۴	۱.۳	۱.۲	۱.۶	۴.۷	۰.۶	۱.۸	۰.۶	۰.۶	۳	۲.۸	
U	۰.۱	۰.۳	۰.۲	۰.۴	۰.۶	۰.۶	۱.۳	۰.۳	۰.۴	۰.۱	۰.۱	۱.۲	۰.۷	
V	۲۲.۸	۲۶.۶	۲۲.۴	۲۳.۸	۱۷.۷	۳.۰-۵	۱۵.۸	۲۱.۷	۱۶.۲	۱۹.۹	۲۰.۷	۲۱.۱	۲۶.۶	
Zr	۱۸.۲	۱۵.۴۷	۸.۹۵	۸.۵	۲۱.۰۴	۱۵.۹	۱۸.۷۹	۱۰.۱۴	۴.۸۵	۸.۹۴	۹.۷۵	۱۶.۸۵	۲۲.۹	
Y	۲۲.۳	۳۸.۳	۲۵.۱	۱.۹	۵۰.۴	۳۷.۴	۱۹.۸	۲۶.۹	۱۴.۹	۲۲.۸	۲۶.۳	۴۱.۱	۲۲.۵	
Pb	۲.۳	۲.۶	۵.۴	۰.۹	۱.۷	۴.۳	۱.۵	۲.۷	۲.۸	۲.۵	۱.۵	۱.۰-۸	۲.۴	
Rare earth elements (ppm)														
La	۶.۴	۱۰.۷	۴.۹	۱۲.۴	۱۶.۷	۱۲.۴	۲۲.۹	۶.۱	۷.۶	۸.۷	۵.۶	۲۷.۲	۱۵.۹	
Ce	۱۵.۴	۲۷.۵	۱۳.۲	۲۷.۸	۴۲.۷	۲۹.۹	۵۶.۱	۱۶.۱	۱۹.۱	۱۵.۹	۵۹.۱	۳۱	۳۱	
Pr	۲.۲۵	۳.۹۶	۲.۰-۳	۳.۷۸	۶.۲۸	۴.۱۷	۷.۸۵	۲.۴۲	۲.۰-۹	۲.۷۷	۲.۲۷	۷.۹۳	۵.۱۳	
Nd	۱	۱۸.۲	۱۰.۱	۱۴.۶	۲۸.۹	۱۹.۴	۲۷.۲	۱۲	۸.۳	۱۳.۶	۱۱	۳۲.۹	۲۲.۹	
Sm	۲.۸۸	۵.۵۱	۳.۰-۲	۳.۵۳	۸.۸۱	۵.۴۷	۶	۳.۲۹	۲.۰-۷	۳.۱۸	۳.۳۵	۷.۷۱	۵.۹۳	
Eu	۱.۱۳	۱.۸۱	۱.۱۳	۱.۲۸	۳.۰-۶	۱.۷۵	۱.۸۲	۱.۲۵	۰.۷۵	۱.۲۲	۱.۲۴	۲.۶۳	۱.۹۷	
Gd	۳.۸	۶.۳۴	۴	۳.۶۸	۹.۸	۶.۲	۵.۹۴	۴.۱۴	۲.۲	۳.۵۵	۴.۰-۸	۷.۸	۶.۸۲	
Tb	۰.۷۱	۱.۱۶	۰.۷	۰.۶۲	۱.۷۸	۱.۱۱	۰.۹۹	۰.۸۲	۰.۴۶	۰.۷۴	۰.۷۸	۱.۳۴	۱.۳۷	
Dy	۳.۰۷	۶.۹	۴.۳۳	۳.۶۲	۱۰.۰-۲	۶.۴۹	۴.۰۵	۴.۶۲	۲.۶۵	۳.۹۸	۴.۹۲	۸.۱۲	۸.۴۹	
Ho	۰.۷۷	۱.۰۶	۱.۰-۷	۰.۷۹	۲.۲۶	۱.۰۶	۰.۸۹	۱.۱۵	۰.۵۲	۰.۸۸	۱.۱	۱.۶	۱.۷۱	
Er	۲.۹۶	۴.۴۴	۲.۸۲	۶.۱۴	۴.۶	۴.۶	۲.۷۵	۱.۶۱	۲.۵	۲				

بررسی‌های صحرایی نشان می‌دهد، که سنگ‌های دگرگون این مجموعه را ترکیب‌های سنگی مختلف نظیر متاپسamt، متاگریوک، متاپلیت (گارنت میکاشیست و گارنت گنایس)، متاکربنات (مرمر آهکی، مرمر دولومیتی) و آمفیبولیت با ساختارهای میلیونی تشکیل می‌دهند. بخش‌های متاپلیت‌ها دارای مناظر میگماتیتی بوده و دگرگونی در حد رخساره آمفیبولیت میانی-بالایی را نشان می‌دهند [۱۵]. اندازه‌گیری-های سال‌سنگی به روش U-Pb روی زیرکن‌های موجود در سنگ‌های دگرگون و گرانیت‌های منطقه و مناطق همجوار [۱۶]، بازه‌ی زمانی ۵۲۴ تا ۵۴۰ میلیون سال (اوخر نئوبروتروزوئیک- اوایل کامبرین) را برای این مجموعه نشان داده‌اند. دایک‌های مافیک به تعداد فراوان، سنگ‌های دگرگون و نیز لوکوگرانیت‌های آناتکتیک را قطع کرده‌اند (شکل ۲-الف).

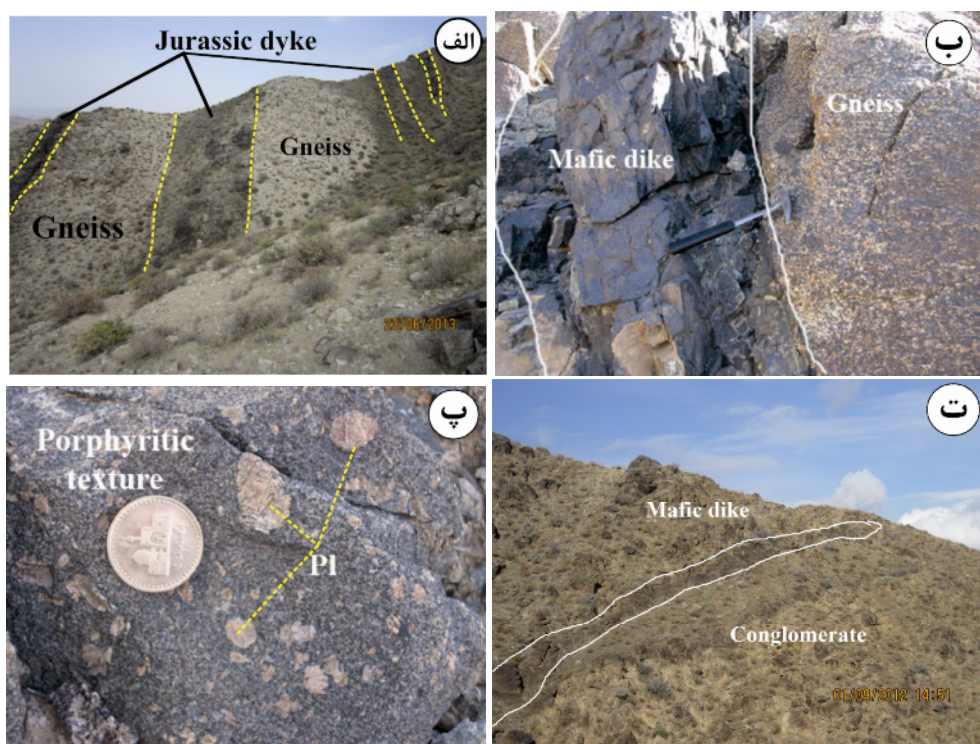
زمین‌شناسی

مجموعه‌ی آذرین- دگرگون دلبر در ۱۳۰ کیلومتری جنوب شرقی بیارجمند، بین طول‌های جغرافیایی $49^{\circ}45'$ تا $50^{\circ}05'$ و عرض‌های جغرافیایی $35^{\circ}53'$ تا $36^{\circ}05'$ در حاشیه‌ی شمالی زون ایران مرکزی در بلوك کویر بزرگ واقع شده است (شکل ۱). این مجموعه روی نقشه‌های زمین‌شناسی ۱:۲۵۰۰۰۰ جاجرم [۹] و خارتوران [۱۰] و نقشه‌های زمین‌شناسی ۱:۱۰۰۰۰۰ ابریشم رود [۱۱]، عباس‌آباد [۱۲]، دره‌ی دایی [۱۳] و رزوه [۱۴] به تصویر درآمده‌اند. در تمامی این نقشه‌ها به حضور دایک‌های مافیک اشاره شد ولی ترکیبات سنگی و نیز سن‌های متفاوتی به آن‌ها نسبت داده شد.

مجموعه‌ی آذرین- دگرگونی دلبر، با روند شمال شرقی-جنوب غربی از سنگ‌های آذرین و دگرگون تشکیل شده است.



شکل ۱ نقشه‌ی ایران و موقعیت منطقه‌ی مورد بررسی آن و نقشه‌ی زمین‌شناسی منطقه که با توجه به تصاویر ماهواره‌ای و بررسی‌های صحرایی صورت گرفته تهیه شده است.



شکل ۲ الف-نمایی از رخمنون صحرایی دایک‌های مافیک در مجموعه‌ی دگرگونی دلبر (کوه کلاته علاء الدین)، ب-نمایی از دایک مافیک قطع کننده‌ی گنیس‌های منطقه‌ی دلبر که برگوارگی این سنگ‌ها را قطع کرده‌اند. پ-تصویر نشان دهنده‌ی ساخت پورفیروئیدی در بخش‌های مرکزی تودها و دایک‌های مافیک منطقه در مقیاس صحرایی. ت-نمایی از حضور قطعات گسیخته شده گنیس‌ها در لابایی دایک‌های مافیک که نشان دهنده‌ی حاشیه‌ی انجماد سریع دایک‌ها و جای گیری آنها در نفوذ دایک‌های مافیک در کنگلومرا قاعده‌ی ژوراسیک (منطقه‌ی میامی). پ-نمایی از حضور قطعات گرانیتی و گنیسی در کنگلومرا قاعده‌ی ژوراسیک (منطقه‌ی میامی).

ها، گرم شدن سنگ‌های منطقه است، به گونه‌ای که سنگ‌های متاپلیتی میزان به طور موضعی دستخوش دگرگونی مجاورتی شده و حتی در بعضی موارد به سیلیمانیت هورنفلس تبدیل شده‌اند.

تصاویر ماهواره‌ای و بررسی‌های صحرایی نشان می‌دهند که در بخش‌های شمال شرقی منطقه‌ی دلبر (کوه کلاته علاء الدین و نازکوه) و بخش‌های جنوبی آن (جنوب غربی کوه ملحدو) این دایک‌ها از تمرکز بیشتری برخوردارند و تعداد آن‌ها به صدها تا هزاران دایک می‌رسد (شکل ۲ الف). در مناطق مجاور از جمله سفید سنگ [۱۷]، بند هزارچاه [۱۸]، میامی [۱۹] و شترکوه [۲۰] نیز همین دایک‌ها رخمنون دارند. واحدهای سنگی ژوراسیک زیرین با طیف ترکیبی ماتاکنگلومرا و تنابو شیل و ماسه سنگ دگرگون با ناپیوستگی آذرین‌پی روی مجموعه‌ی آذرین- دگرگونی پرکامبرین قرار دارند. در قاعده‌ی دنباله‌ی رسوبی ژوراسیک زیرین، در مناطق بند هزارچاه و میامی،

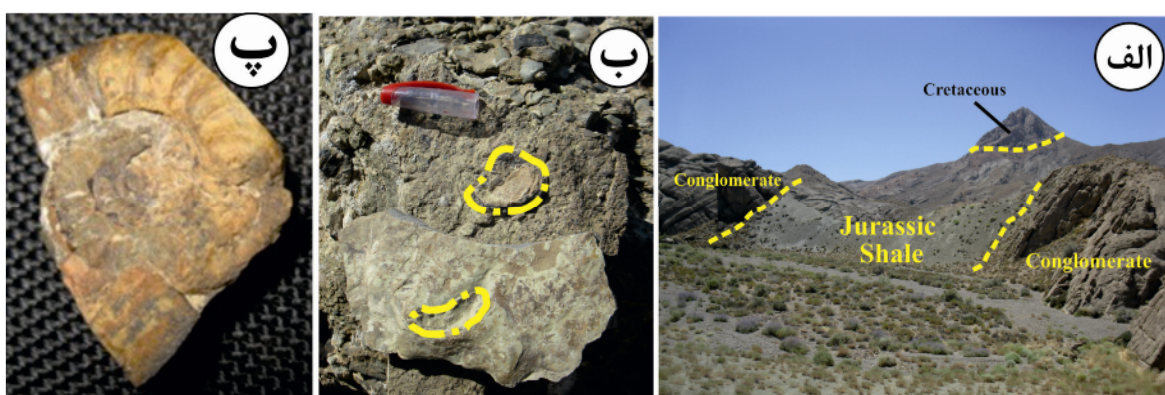
راستای کلی این دایک‌ها در نقاط مختلف متفاوت‌اند، ولی بیشتر دارای راستای شمال شرقی- جنوب غربی هستند. ضخامت آن‌ها از چند سانتیمتر تا چند متر (۴ تا ۵ متر) متغیر است. این سنگ‌ها علاوه بر دایک، به شکل آپوفیز، استوک و تودهای کوچک و غالباً به رنگ‌های سیاه تا سبز تیره مشاهده می‌شوند. در برخی از آن‌ها اختلاف اندازه‌ی بلورها از حاشیه به مرکز دایک قابل مشاهده است. به گونه‌ای که بخش‌های حاشیه‌ای، دانه ریز و حالت انجماد سریع دارند و بخش‌های مرکزی کاملاً درشت دانه و بافت پورفیروئیدی مشکل از پورفیرهای درشت پلازیوکلاز نشان می‌دهند (شکل ۲ پ).

برخی از دایک‌ها قدیمی‌ترند (پرکامبرین) و به وسیله‌ی گرانیت‌های آناتکتیک گسیخته شده و در آن‌ها پراکنده شده‌اند، اما گروهی دیگر با حاشیه‌ی انجماد سریع و کاملاً سالم، دگرگونهای گرانیت‌های آناتکتیک را قطع کرده‌اند و قطعاتی از آن‌ها را دربرگرفته‌اند. از پیامدهای نفوذ و جایگزینی این دایک-

فسیل‌دار نادگرگون را می‌توان معادل سازند دلیچای در البرز و یا آهک‌های قلعه دختر و اسفندیار در ایران مرکزی در نظر گرفت [۱۴].

بررسی‌های صحراوی نشان می‌دهند که دایک‌های مافیک مورد بررسی، این واحدهای آهکی فسیل‌دار را قطع نکرده‌اند، لذا می‌توان سن ژوراسیک میانی را برای آن‌ها در نظر گرفت. آهک‌های حاوی اربیتولین، اینوسراموس و دوکفه‌ای‌های بزرگ به سن کرتاسه زیرین با ناپیوستگی زاویه‌دار روی نسل تخریبی-کربناتی ژوراسیک میانی قرار گرفته‌اند. به دلیل وجود ریز فسیل‌های sp, Dictyoconus sp, Orbitolina sp, Lithocodium aggregatum, Shell و Textularids, Miliolides, Dasycladacea fragments در این سنگ‌ها، سن آن‌ها در بازه‌ی آشکوب‌های آپسین-آلبین (کرتاسه زیرین) قرار می‌گیرد [۱۲]. در کوه ملحدو، آهک‌های کرتاسه زیرین به‌وسیله‌ی گسل وارون کم‌شیب از نوع راندگی روی مجموعه آذرین-دگرگون پرکامبرین قرار گرفته‌اند. این آهک‌ها با دایک‌ها قطع نشده‌اند، لذا با در نظر گرفتن روابط چینه‌شناختی می‌توان نتیجه گرفت که دایک‌های مورد بررسی در این پژوهش به اواخر ژوراسیک میانی-بالایی تعلق دارند. در داخل سازند شمشک در زون البرز شرقی نیز دایک‌های مشابهی نفوذ کرده‌اند که در آهک‌های سازند دلیچای به سن ژوراسیک میانی ادامه ندارند [۱]. مقایسه‌ی این دایک‌ها با دایک‌های مورد بررسی نشان می‌دهد که هردو گروه دارای جایگاه چینه‌شناختی، بازه‌ی سنی، سنگ‌شناسی، زمین‌شیمی و جایگاه زمین‌ساختی بسیار مشابهی هستند.

متاکنگلومرای ضخیمی (با ضخامت بیش از ۵۰۰ متر) حاوی قلوه‌های بسیار درشتی از سنگ‌های دگرگون و گرانیت‌ها همراه با میان لایه‌هایی از شیل رخنمون دارد. در بخش‌های شیلی این واحد، فسیل‌های گیاهی از نوع Cyathidites austalis, Lycopodium sporites, Gleicheniidites senonicus, Sphagnumsporites antiquas porites همچنین مرجان و دو کفه‌ای از نوع آلتکریونیا نیز در این سنگ‌ها یافت می‌شود (شکل ۳-ب). بر اساس شواهد چینه‌شناختی، این سنگ‌ها دارای بازه‌ی سنی اواخر تریاس تا ژوراسیک زیرین هستند. توالی کنگلومرای، شیل و ماسه سنگ در مناطق میامی و بند هزارچاه را می‌توان معادل سازند شمشک در البرز و ایران مرکزی در نظر گرفت. سازند شمشک حاوی فسیل‌های درشت کفزی و آمونیت‌هایی است که بازه‌ی زمانی توآرسین میانی تا آلنین بالایی را نشان می‌دهند [۲۲]. این واحد کنگلومرایی نیز آشکارا با یک نسل از دایک‌های مافیک قطع شده است. حضور این کنگلومرای چندزادی ضخیم حاکی از آن است که به دنبال فاز کوهزایی سیمرین پیشین در اواخر تریاس، منطقه دستخوش بالازدگی و فرسایش شدید شده و دنباله‌ی رسوی تخریبی ضخیم معادل شمشک را در حوضه‌های کششی فروافتاده محلی بر جای گذاشته است. این دنباله‌ی تخریبی بعداً (ژوراسیک میانی-بالایی) در حد رخساره‌ی شیست سبز دگرگون شده است. مجموعه دگرگونی دلبر و دنباله‌ی رسوی تخریبی دگرگون ژوراسیک زیرین در برخی مناطق (بند هزارچاه و غرب کوه ملحدو) با سنگ‌های آهکی، آهکی-ماسه‌ای و آهک ماسه‌ای فسیل‌دار (حاوی آمونیت و مرجان به سن ژوراسیک میانی) پوشیده شده‌اند. این واحدهای



شکل ۳ الف- تصویری از تنابو شیل و ماسه سنگ‌های ژوراسیک زیرین (منطقه‌ی میامی). ب- تصویری از فسیل‌های آمونیت و دوکفه‌ای‌های یافت شده در شیل‌های ژوراسیک زیرین (منطقه‌ی میامی).

شیمی آمفیبول‌ها

آمفیبول‌های موجود در دایک‌های مافیک مورد بررسی در رده ۵-۲۳ بندی [۲۳] در گروه کلسیک قرار گرفته و از نوع ادنیت‌اند (شکل ۵). آمفیبول‌ها یکی از مناسب‌ترین کانی‌ها در فشارهای فشارسنجی سنگ‌های آذرینی هستند که در فشارهای ۱۱۵۰°C-۴۰۰-۲۳ Kbar و گستره‌ی وسیعی از دماها از ۱۱۵۰°C-۴۰۰°C [۲۴، ۲۳] پایدارند. لذا از نتایج آنالیز نقطه‌ای آن‌ها برای تعیین عمق جایگیری دایک‌ها استفاده شد.

نتایج فشارسنجی بر اساس میزان Al^{+3} محلول در آمفیبول با چهار طبقه‌بندی مختلف (جدول ۳) نشان می‌دهد که میانگین فشار جایگیری این توده‌ها در گستره‌ی Kbar ۳/۸-۵/۴ در عمق تقریبی ۱۴ تا ۱۵ کیلومتری پوسته قرار می‌گیرد.

جدول ۲ نتایج آنالیز EPMA نمونه‌های آمفیبول توده‌های گابروی منطقه دلبر.

Sample number	B170-1-01	B170-1-02	B170-1-03	B170-1-04		B170-1-01	B170-1-02	B170-1-03	B170-1-04
SiO ₂	۴۳,۵	۴۶,۱۴	۴۶,۵۱	۴۵,۹۸	Amphibole group	Ca	Ca	Ca	Ca
TiO ₂	۱,۴۲	۱,۰۸	۱,۱	۰,۹۶	(Ca+Na) (B)	۲	۲	۲	۲
Al ₂ O ₃	۱۰,۳۶	۸,۹۴	۹,۰۶	۸,۷۴	Na (B)	۰,۱۳۱	۰,۲۰۴	۰,۱۸۶	۰,۱۳۶
FeO	۸,۷۳	۸,۴	۸,۰۲	۸,۵۷	(Na+K) (A)	۰,۷۵۰	۰,۵۳۷	۰,۵۵۴	۰,۵۷۸
MnO	۰,۲۵	۰,۱۸	۰,۱۹	۰,۲۱	Mg/(Mg+Fe2)	۰,۷۲۲	۰,۷۳۴	۰,۷۴۸	۰,۷۴۲
MgO	۱۲,۷	۱۳,۰۱	۱۳,۳۸	۱۳,۸۲	Amphibole names	edenitic hornblende	edenite	edenite	edenite
CaO	۱۱,۲۹	۱۰,۹۸	۱۱,۲	۱۱,۴۶	P (kbars)				
Na ₂ O	۲,۵۹	۲,۲۱	۲,۲۹	۲,۱۵	Hammarstrom & Zen 86	۵,۵۷	۴,۱۷	۴,۱۹	۳,۹۴
K ₂ O	۰,۵۳	۰,۴۵	۰,۳۶	۰,۴۲	Hollister et al. 87	۵,۸۸	۴,۳۱	۴,۳۴	۴,۰۶
Cr ₂ O ₃	۰	۰,۱۷	۰,۱۹	۰,۰۵	Johnson & Rutherford 89	۴,۵۲	۳,۳۴	۳,۳۶	۳,۱۵
H ₂ O*	۱,۹۴	۱,۹۶	۱,۹۸	۱,۹۷	Schmidt 92	۵,۹۷	۴,۶۴	۴,۶۷	۴,۴۳
Total	۹۳,۳۱	۹۳,۵۲	۹۴,۲۸	۹۴,۳۳					
No. of oxygens	۲۳	۲۳	۲۳	۲۳					

پوسته قاره‌ای (به دلیل تمرکز بالای این عناصر در پوسته‌ی قاره‌ای) صورت گرفته باشد (شکل ۷-ب). میانگین نسبت La_N/Sm_N که نشانگر نسبت LREE/HREE است، در سنگ‌های منطقه‌ی دلبر برابر ۲/۳۵ است، لذا بر اساس این نسبت و با توجه به ماهیت شبه قلیایی نمونه‌ها می‌توان نتیجه گرفت که ماگمای سازنده‌ی سنگ‌های منطقه‌ی ذوب بخشی با درجه‌ی پایین یک منبع گوشه‌ای غنی شده ریشه گرفته است. نمودار پایین یک منبع گوشه‌ای غنی شده ریشه گرفته است. نمودار TiO₂ نسبت به Fe₂O₃t [۳۲] بیانگر آن است (شکل ۷-پ). همچنین قرار گرفتن نمونه‌های مورد بررسی در میدان فاقد گارنت روی نمودار Ce/Sm نسبت به Sm/Yb [۳۳] با ریشه گرفتن این سنگ‌ها از ذوب بخشی یک خاستگاه گوشه‌ای فاقد گارنت همخوانی دارد (شکل ۷-ت). به منظور تعیین درجه‌ی ذوب بخشی نمونه‌های مورد بررسی، با توجه به میانگین بالای عدد منیزیم آن‌ها (۵۱) از نمودار N(Al/Sm)N نسبت به La/Sm، مقادیر بهنجار شده نسبت به کندریت سان و مک دونوف (۱۹۸۹) استفاده شد (شکل ۷-الف). در این نمودار نمونه‌های مافیک منطقه‌ی دلبر از ذوب بخشی ۲۰ تا ۲۰ درصدی یک خاستگاه اسپینل پریدوتیتی ریشه گرفته‌اند. از نمودار تغییرات Ce/Y نسبت به Ce [۳۴] برای تعیین عمق رخداد ذوب بخشی محل خاستگاه استفاده شده است. بر

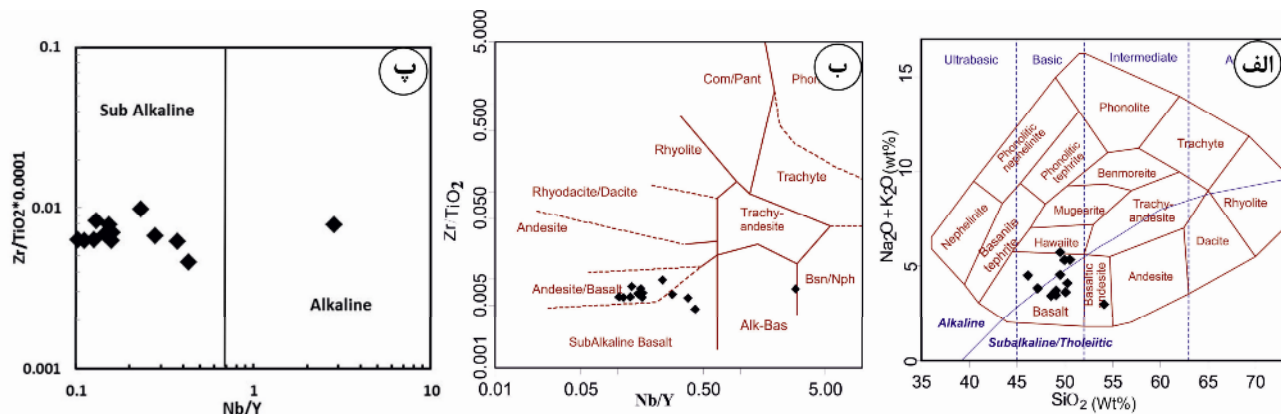
زمین‌شیمی

نمونه‌های مافیک مورد بررسی در نمودار رده‌بندی سنگ‌های درونی [۲۶] در گستره‌ی ترکیبی گابرو و مونزوگابرو و سری قلیایی تا شبه قلیایی واقع می‌شوند (شکل ۶ الف). عناصر Ti, Nb, Y و Sr مؤثرترین جدا کننده‌ها در بازالت‌های فوران کرده از محیط‌های زمین ساختی مختلف به شمار می‌روند [۲۸,۲۷]. لذا از این عناصر نیز برای تعیین ماهیت سنگ‌های مافیک مورد بررسی استفاده شده است. نمونه‌های مافیک مورد بررسی روی نمودار تغییرات Zr/TiO₂ نسبت به Zr/TiO₂ [۲۹] در گستره‌ی بازالت‌های شبه قلیایی قرار می‌گیرند (شکل ۶-ب).

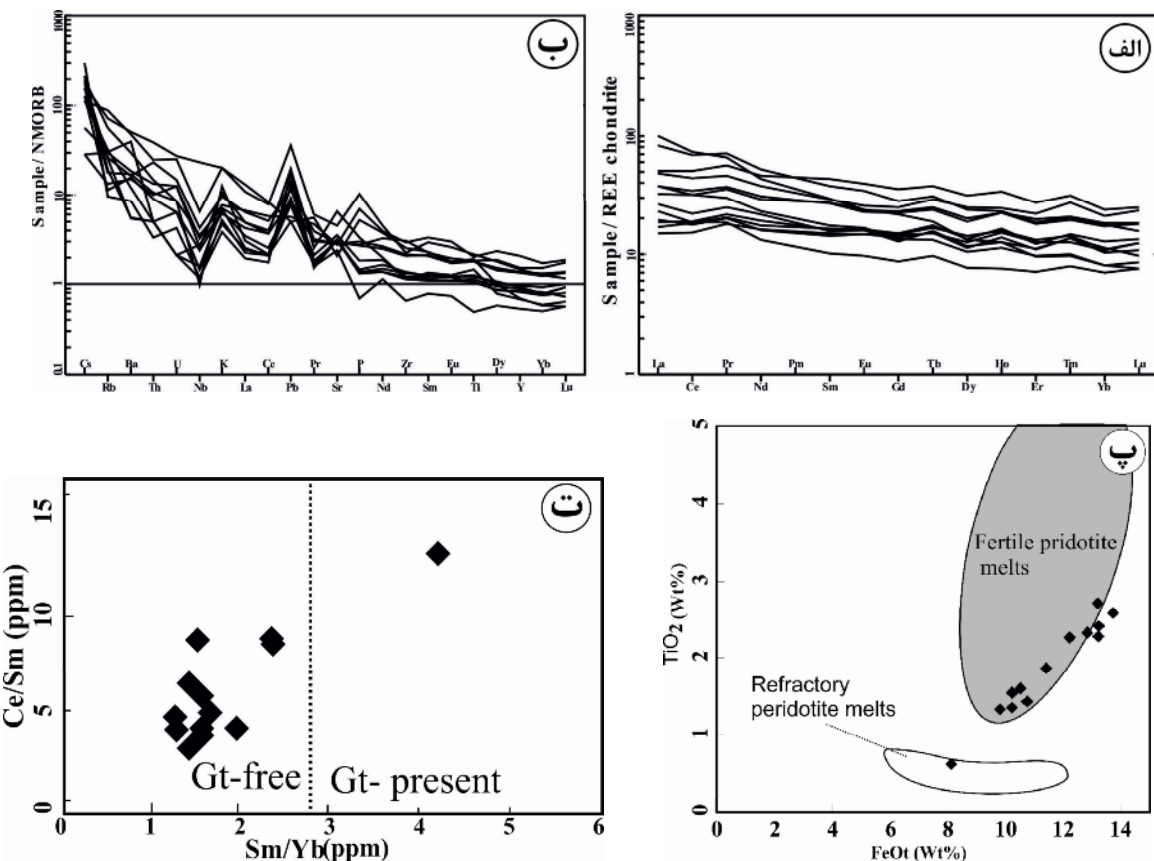
نمودارهای عنکبوتی بهنجار شده نسبت به REE کندریت [۳۰] تهی‌شدگی آنها از HREE و غنی‌شدگی از LREE و نبود بی‌هنجری منفی و یا مثبت Eu را نشان می‌دهد (شکل ۷-الف). در نمودار چند عنصری بهنجار شده نسبت به گوشه‌ی اولیه [۳۱] نیز غنی‌شدگی از LREE و تهی‌شدگی از HREE مشاهده می‌شود. به علاوه تهی‌شدگی قابل ملاحظه از عناصر HFSE، مانند Nb که شاخص ماگماهای وابسته به کمان قاره‌ای است، نشان دهنده‌ی حضور فازهای دیرگذار حاوی Nb در محل خاستگاه است. بی‌هنجری مثبت عناصر Pb و Cs می‌تواند بر اثر آلایش ماگما با مواد

محیط زمین ساختی (شکل‌های ۸ پ، ت و ث)، نمونه‌های مافیک مورد بررسی در گستره‌ی بازالت‌های پشت کمانی و یا نزدیک به آن قرار می‌گیرند.

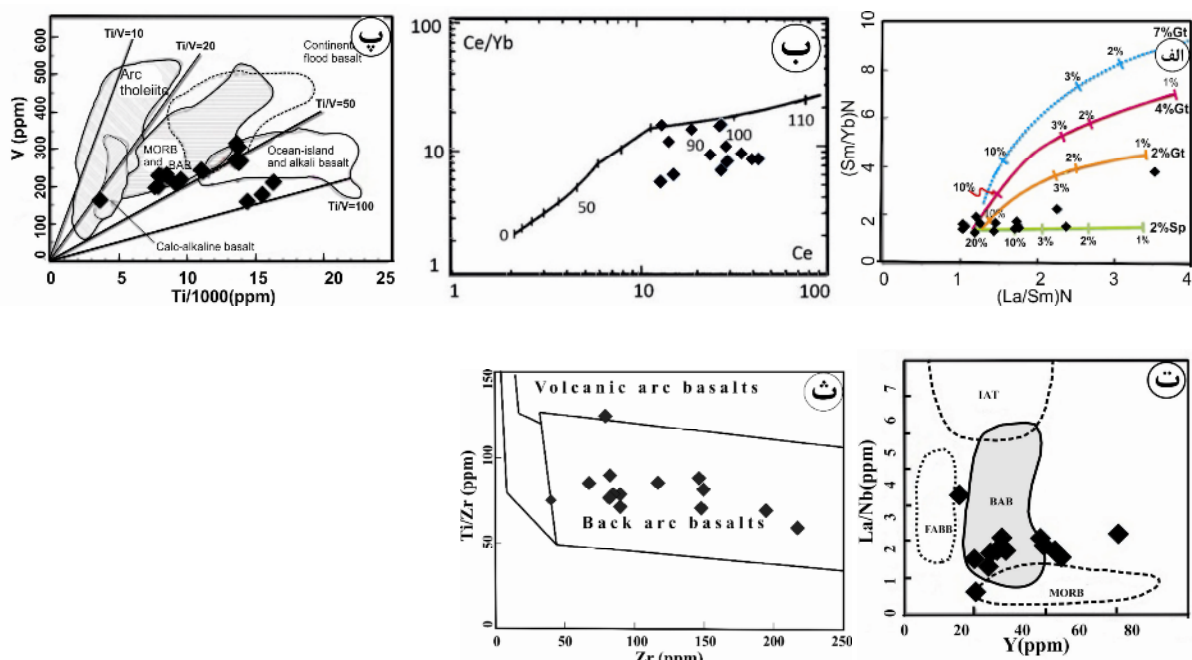
اساس این نمودار (شکل ۸-ب)، عمق بروز ذوب بخشی و تشکیل ماقمای سازنده‌ی سنگ‌های مافیک منطقه‌ی دلبر در حدود ۸۰ تا ۱۰۰ کیلومتر تعیین می‌شود که با گوشه‌ی اسپینل لرزولیتی همخوانی دارد. در نمودارهای مختلف تعیین



شکل ۶ الف-نمودار SiO_2 - $\text{Na}_2\text{O}+\text{K}_2\text{O}$ نسبت به Nb/Y [۲۶] که موقعیت نمونه‌های مورد بررسی روی آن نشان داده شده است. ب-نمودار تغییرات نسبت به Zr/TiO_2 نسبت به Nb/Y [۲۹] و موقعیت نمونه‌های مورد بررسی بر روی آن. پ-نمودار تغییرات نسبت به $\text{Zr}/\text{TiO}_2 * 0.0001$ نسبت به Nb/Y [۲۹].



شکل ۷ الف-نمودار عنکبوتی بهنجار شده نسبت به REE کندریت [۳۰]، ب-نمودار عنکبوتی بهنجار شده نسبت به $\text{Fe}_2\text{O}_3\text{t}$ TiO_2 نسبت به Ce/Sm [۳۲] برای نمونه‌های گابرویی مورد بررسی. پ-نمودار تغییرات Ce/Sm نسبت به Sm/Yb [۳۳] نسبت به FeOt [۱۹۸۹] برای نمونه‌های مورد بررسی. ت-



شکل ۸- الف- نمودار $(\text{Sm}/\text{Yb})\text{N}$ نسبت به $(\text{La}/\text{Sm})\text{N}$. ب- نمودار تغییرات Ce/Y در مقابل Ce/Yb نسبت به کندریت [۳۱]. ت) نمودار تغییرات Y در مقابل La/Nb در مقابله $\text{Ti}/1000$ [۳۵] (ب)، (ت) نمودار Ti/Zr نسبت به Zr [۳۷] (ث) برای تعیین محیط زمین ساختی نمونه های مافیک مورد بررسی.

سنگ‌ها، با محیط پشت کمانهای قاره‌ای همخوانی دارد. به اعتقاد ویلسن و همکاران [۴۰] کشش ناشی از فروزانش پیشرونده‌ی سنگ کره‌ی اقیانوسی نئوتیس به زیر سنگ کره‌ی قاره‌ای ایران مرکزی، منجر به باز شدن حوضه‌های کافتی پشت کمان در بخش‌های داخلی ایران مرکزی و البرز شده است (شکل ۱۰). ماغماهای مافیک حاصل از ذوب بخشی گوشته لیتوسففری زیر قاره‌ای از طریق فضاهای کششی ایجاد شده در این حوضه‌ها در راستای گسلهای عادی به ترازهای بالایی پوسته صعود کرده و به صورت دایک یا توده‌های کوچک مقیاس جایگزین شده است. چنانکه قبلًا اشاره شد، ماغماهای سازنده‌ی دایک‌های منطقه از ذوب بخشی ۱۰ تا ۲۰ درصدی یک سنگ خاستگاه گوشته‌ای اسپینل پریدوتیتی در اعمق ۸۰ تا ۱۰۰ کیلومتری ریشه گرفته و در خلال صعود و جایگزینی در پوسته احتمالاً مقدار اندکی آلودگی پوسته‌ای یافته است. سازند شمشک و سنگ‌های مافیک موجود در آن، در حوضه‌ی کششی کافتی پشت کمانی ایجاد شده‌اند که در فاز کوه‌زایی سیمیرین پیشین، تشکیل شده بود [۴۱، ۴۰، ۲]. تغییر در الگوی رسوب‌گذاری در مرز تریاس میانی- بالایی با تغییر رسوب‌های سکویی کربناتی پرموترياس (سازنده‌ی شتری و الیکا) مربوط به مرحله کافتی‌زایی به رسوب‌های سیلیسی تخریبی قاره‌ای تریاس فوکانی ژوراسیک میانی (گروه شمشک) نشان داده می‌شود. این

سال‌سنگی به روش U-Pb آپاتیت آغاز شد. آپاتیت کانی فرعی رایج در سنگ‌های مافیک مورد بررسی است که اطلاعات مهمی در خصوص زمان تشکیل این سنگ‌ها ارائه می‌دهد. به طور کلی آپاتیت در بررسی‌های سال‌سنگی دمای پایین به کار می‌رود. زیرا دمای بسته شدن سیستم آپاتیت پایین است (۴۵۰-۵۵۰ درجه‌ی سانتیگراد) [۳۸]. اما تعیین سن دقیق به روش U-Pb-Th بر روی آپاتیت بخصوص در نمونه‌های جوانتر به دلیل فراوانی پایین U و از دست رفتن Pb رادیوزیمیک و اهمیت تصحیح دقیق سرب عادی بسیار دشوار است [۳۹]. تعیین سن دقیق U-Pb معمولاً به دلیل نسبت بالای سرب عادی به سرب رادیوزیمیک، محدود است و نیاز به تصحیح سرب عادی دارد. داده‌های حاصل از تعیین نسبت‌های ایزوتوپی نمونه مورد بررسی به روش LA-ICPMS پس از تصحیح سرب عادی، در رسم نمودار $\text{Pb}^{207}/\text{Pb}^{206}$ - $\text{U}^{238}/\text{Pb}^{206}$ مورد استفاده قرار گرفته است (جدول ۳). این نمودار، سن $152 \pm 35\text{ Ma}$ (ژوراسیک میانی- فوکانی) را برای دایک‌های مافیک مورد بررسی نشان می‌دهد (شکل‌های ۹- ب و پ) که با شواهد چینه‌شناسی منطقه و مناطق همجوار همخوانی دارد.

بحث

ویژگی‌های زمین‌شیمی و نیز نمودارهای جدایش محیط زمین ساختی نشان می‌دهند، جایگاه زمین‌ساختی تشکیل این

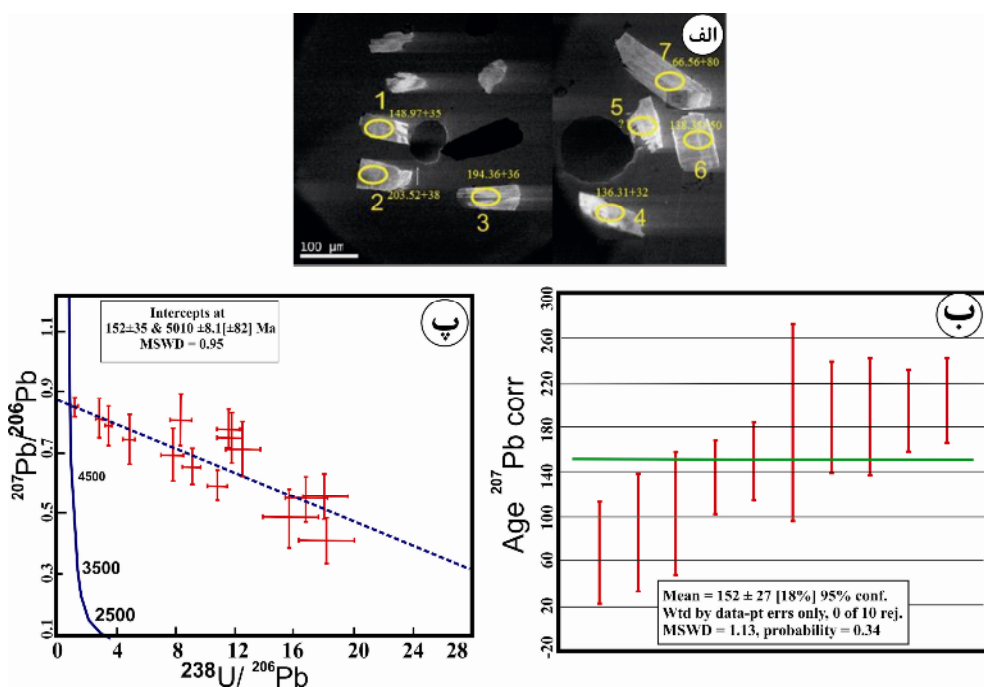
۱۰). به اعتقاد شهبازی و همکاران [۷] در ژوراسیک میانی، ورقه اقیانوسی نئوتیس به زیر خرد قاره‌ی ایران مرکزی فرورانش داشته و پوسته‌ی قاره‌ای کمان ایران مرکزی تحت تاثیر رژیم زمین‌ساختی تراکمی بوده است. مagmaهای مافیک مادر در راستای این شکستگیها و فضاهای کششی به درون پوسته صعود کرده و دایک‌ها و توده‌های کوچک مقیاس مافیک را ایجاد کرده اند (شکل ۱۰). شکل ۱۰ مدل زمین ساختی نماین ارائه شده برای چگونگی تشکیل این حوضه‌ها و مagmaتیسم وابسته به آن در ژوراسیک میانی- فوقانی را نشان می‌دهد [۴۰]. سنگ‌های مافیک با دامنه‌ی سنی مشابه در زون سنندج- سیرجان گزارش شده‌اند، از جمله سن گابروهای الوند [۸] به روش $U-Pb$ 166.5 ± 1.8 Ma ۱۶۹-۱۷۲ میلیون سال پیش شد [۷]. فعالیت magmaی کوتاه مدتی را در گستره‌ی زمانی 147.4 ± 0.76 Ma در ارتباط با تشکیل مجموعه‌ی گرانیتوئیدی بروجرد گزارش کرده‌اند. برای گرانیتوئیدهای لوکوگرانیتی (ترونجمیت-های) مجموعه قوری در بخش جنوبی زون سنندج- سیرجان شده است. سن‌های ارائه شده برای توده‌های گرانیتوئیدی مختلف در زون سنندج- سیرجان و ایران مرکزی بیانگر رویداد magmaتیسم گستره‌در این گستره‌ی زمانی است. گستره‌ی سنی به دست آمده برای توده‌های مافیک مورد بررسی کشش در حوضه‌های پشت کمان زون‌های ایران مرکزی و البرز در گستره‌ی زمانی ژوراسیک میانی- فوقانی کاملاً سازگار است.

رخداد به عنوان کوهزایی سیمیرین آغازین معرفی شده و گروه شمشک به عنوان مولاس پس از کوهزایی این رخداد، در یک حوضه‌ی پیش بوم تشکیل شده است [۴۲، ۲۱]. این حوضه‌ها از نوع حوضه‌های پیش بوم (Forland) پشت کمان magmaی ارومیه دختر هستند. به اعتقاد [۴۳]، در اواخر تریاس- اوایل ژوراسیک، به دنبال بسته‌شدن اقیانوس پالئوتیس و برخورد بلوك سیمیرین (بلوک‌های لوت، طبس، یزد و کویر بزرگ) با ورقه توران، فرسایش و تخریب این بلوك، خاستگاه اصلی تأمین رسوب‌های سازند شمشک بوده است.

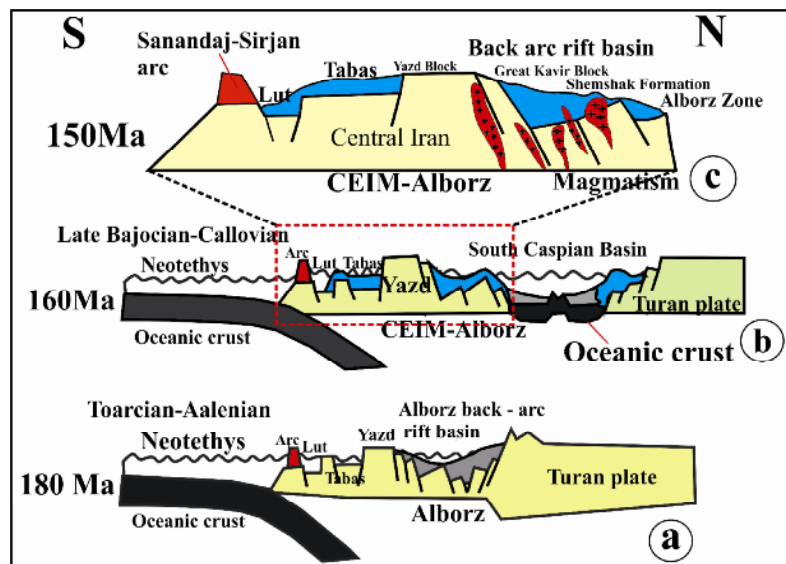
در گستره‌ی اشکوب‌های توآرسین- آلنین (ژوراسیک تحتانی- میانی)، نرخ بالای فروننشست (60 m/Ma) در عرض البرز جنوبی و تغییرات سریع ضخامت، موجب کشش در بخش شمالی ایران (مرحله کافت حوضه‌ی البرز، [۴۴]) شده است. کشش وابسته به فرورانش پیشوندهی نئوتیس منجر به بازشد نهایی حوضه‌های کافت پشت کمان در راستای حاشیه‌ی لوارازیا شده است [۴۱، ۴۵]. این رخداد در گستره‌ی زمانی $183-170$ میلیون سال پیش (توآرسین- بازویین آغازین) صورت گرفته است (شکل ۱۰). پس از حادثه سیمیرین میانی، از پس از بازویین پایانی، فروننشست در تمام شمال ایران دوباره فعال شده (رسوب‌های دریایی عمیق سازند دلیچای) و به همراه کشش پوسته‌ای، موجب عمیق‌تر شدن نسبی حوضه‌ی رسوبی شده است [۴۸]. حادثه کافت‌زایی پشت کمان، منجر به ایجاد حوضه‌ی جنوب دریایی خزر [۴۱] و تشکیل البرز در حاشیه‌ی جنوبی آن در گستره‌ی زمانی $150-170$ میلیون سال پیش (بازویین پایانی- ژوراسیک بالایی) شده است (شکل

جدول ۳ نتایج حاصل از تعیین نسبت‌های ایزوتوبی و سن‌های بدست آمده به روش $U-Pb$ برروی آپاتیت موجود در نمونه‌های مافیک منطقه دلبر

Sample	Pb207 Spot	Pb207 Pb206	1σ%	Pb207 U235	1σ%	Pb206 U238	1σ%	Pb207 Pb206	1σ%	Pb206 U238	1σ%	Pb207 U235	1σ%	Pb206 U238	1σ%	U238 Pb206	Err %	Pb207 Pb206	Err %	Age207Pb corr	Age	Err %
B34-04	۰,۵۵۵۴	۰,۰۶۹۹	۴,۲۲۸۱	۰,۴۴۷۶	۰,۰۵۴	۰,۰۰۴۵	۰,۴۳۹۲	۱۷۲,۸۵	۳۴۷,۷	۲۷,۹۹	۱۶۸,۱۴	۸۶,۷۷	۱۸,۰۴	۸,۲۶	۰,۵۵	۱۲۶۱	۱۳۶۳۱۶	۲۲,۲۷۸۸				
B34-01	۰,۵۴۸۹	۰,۰۷۲۵	۴,۰۹۹	۰,۵۰۴۴	۰,۰۵۹۵	۰,۰۰۵۰	۴۳۷,۸۴	۱۸۰,۶۳	۳۷۷	۳۰,۹۸	۱۷۳,۲۸	۹۲,۹۷	۱۶,۷۹	۸,۵۵	۰,۵۵	۱۳۲۱	۱۴۸,۹۷۹	۳۵,۹۳۶۱				
B34-19	۰,۸۴۷۴	۰,۰۲۹۸	۱۰۷,۶۹	۰,۰۶۵۲	۰,۹۲۱۵	۰,۰۴۲۲	۵۰۰,۳۶	۴۹,۰۷	۴۲۱,۰۵	۱۴۱,۸۲	۴۷۶,۰۷	۴۷,۳۲	۱,۰۹	۴,۵۹	۰,۸۵	۳,۵۲	۱۷۵,۲۲۸	۲۵۱,۵۲۷				
B34-18	۰,۶۸۹۴	۰,۰۸۴۵	۱۲۳۵	۱,۲۲۴۱	۰,۱۳	۰,۰۱۲۰	۴۷۰,۸۹	۱۶۵,۶۹	۷۸۷,۸	۶۸,۹۶	۲۶۳۲,۱	۱۰۰,۶۴	۷,۶۹	۹,۳	۰,۶۹	۱۲۲۶	۱۸۳,۴۳۰	۸۷,۱۸۷۹				
B34-11	۰,۸۰۵۹	۰,۰۶۵۵	۴۰,۰۶۵	۲۲۶۸۸	۰,۳۶۰۵	۰,۰۲۸۷	۴۹۲۲,۴	۱۱۱,۰۶	۱۹۸۴,۶	۱۲۶,۰۴	۳۷۷۲,۳	۸۲,۳	۲,۷۷	۷,۹۶	۰,۸۱	۸,۱۳	۱۸۳,۹۲۸	۱۸۸,۴۹۲۶				
B34-06	۰,۴۸۹۱	۰,۰۹۲۶	۴,۲۹۴۳	۰,۶۹۹۷	۰,۰۶۲۶	۰,۰۰۷۵	۴۲۰,۸۸	۲۵۴,۳۳	۳۹۷,۹	۴۶	۱۶۹,۲۳	۱۳۴,۲	۱۵,۷۱	۱۱,۹۲	۰,۴۹	۱۸,۹۴	۱۸۸,۳۵۸	۵۰,۵۸۴۷				
B34-14		۰,۶۵۰۶	۰,۰۵۷۶	۹,۹۲۸۶	۰,۷۵۷۰	۰,۱۱۰۶	۰,۰۰۷۲	۴۶۲۵,۳	۱۲۲,۳۴	۶۷۶,۷	۴۱,۷۶	۲۴۲۸,۲	۷۰,۳۴	۹,۰۴	۶,۵۱	۰,۶۵	۸,۸۷	۱۸۹,۳۳۷	۵۱,۸۵۳۶			
B34-03	۰,۴۱۴۵	۰,۰۷۲۴	۲,۱۴۴۵	۰,۴۷۴۸	۰,۰۰۵۵	۰,۰۰۵۷	۳۹۶۲,۶	۲۹۳,۷۳	۳۴۵,۲	۵۲,۳	۱۴۴۲,۷	۱۱۶,۳۴	۱۸,۱۸	۱۰,۵۱	۰,۴۱	۱۷,۴۹	۱۹۴,۳۶۵	۳۶,۷۷۳۴				
B34-02	۰,۵۸۹۳	۰,۰۵۰۰	۷,۵۸۱۹	۰,۰۵۵۳۱	۰,۰۹۳۲	۰,۰۰۵۵	۴۴۸۲	۱۱۸,۲۱	۵۷۴,۹	۳۲,۵۳	۲۱۸,۲۷	۶۵,۴۵	۱۰,۷۲	۵,۹۲	۰,۵۹	۸,۴۹	۲۰,۳,۵۲۳	۳۸,۷۴۵۲				
B34-17	۰,۷۸۱۳	۰,۰۶۵۲	۳۱,۸۶۳	۲,۶۲۹۱	۰,۲۹۵۷	۰,۰۲۲۷	۴۸۸۸,۱	۱۱۴,۲۴	۱۶۷۰,۱	۱۱۳,۳۸	۲۵۴۶,۱	۸۱,۲۳	۳,۳۸	۷,۷۱	۰,۷۸	۸,۳۶	۲۰,۶۹۰	۱۵۳,۷۵۴۵				
B34-22	۰,۷۳۹۲	۰,۰۷۷۵	۲۱,۳۳۰	۰,۰۶۶۳	۰,۰۱۸۳	۰,۰۹۲	۰,۰۰۹۲	۴۸,۰۹	۱۴۲,۲۹	۱۲۲۴,۶	۹۷,۹۶	۴,۷۸	۸,۷۹	۰,۷۴	۱۰,۴۸	۲۱۴,۲۷۹	۱۲۷,۹۹۱۴					



شکل ۹ الف- تصویر CL آپاتیت‌های انتخاب شده برای تعیین نسبت‌های ایزوتوپی و تعیین سن دایک‌های مافیک مورد بررسی. ب- نمودار ($\text{Pb}^{207}/\text{Pb}^{206}$ versus $\text{U}^{238}/\text{Pb}^{206}$) Tera-Wasserburg Concordia Waighthed average برای نمونه دایک مورد بررسی. پ- نمودار ($\text{Pb}^{207}/\text{Pb}^{206}$ versus $\text{U}^{238}/\text{Pb}^{206}$) Tera-Wasserburg Concordia Waighthed average برای نمونه دایک مورد بررسی.



شکل ۱۰ مدل زمین ساختی ارائه شده برای جایگاه زمین ساختی تشکیل سنگ‌های مورد بررسی بر اساس مدل ارائه شده [۳۷] با تغییراتی در مرحله‌ی c.

دایک‌ها از ذوب بخشی ۱۰ تا ۲۰ درصدی یک گوشه اسپینل روزولیتی در یک حوضه‌ی کششی کافتی پشت کمان ایجاد شده و از طریق فضاهای کششی ناشی از عملکرد گسل‌های عادی بالا آمده است. این حوضه کافتی پشت کمان در اثر بروز کشش در سنگ کره قاره‌ای ایران مرکزی- البرز بر اثر تداوم

برداشت سن پرتوسنجی گروهی از دایک‌های مافیک منطقه‌ی دلبر به روش U-Pb روی آپاتیت، برابر با 152 ± 35 Ma (ژوراسیک میانی- فوکانی) به دست آمد که با روابط چینه شناختی آن‌ها با سنگ‌های میزان کاملاً همخوانی دارد. ماقمای سازنده این

فرورانش رو به شمال سنگ کره اقیانوسی نئوتیس به زیر آن ایجاد شده است.

قدرتانی

این پژوهش، بخشی از نتایج به دست آمده از طرح پژوهشی به شماره ۹۰۰۰۴۸۹۳ صندوق حمایت از پژوهشگران معاونت علمی و فناوری ریاست محترم جمهوری است. لذا برخود لازم می‌دانیم که از حمایت‌های مادی و معنوی مسئولین محترم آن صندوق و نیز از پشتیبانی ارزنده حوزه معاونت پژوهشی و فناوری دانشگاه صنعتی شهرورد سپاسگزاری کنیم.

مراجع

- [8] Khalaji A., Esmaeily D., Valizadeh M., Rahimpour-Bonab H., "Petrology and geochemistry of the granitoid complex of Boroujerd, Sanandaj-Sirjan Zone", Western Iran. Journal of Asian Earth Sciences 29 (2007) 859–877.
- [۹] افتخارنژاد ج، آقاباتی ا، خان ناظر ن.ه، " نقشه زمین-شناصی ۱:۲۵۰۰۰ جاجرم، سازمان زمین‌شناسی کشور (۱۳۷۱).
- [۱۰] نوایی ا، صالحی راد م، مجیدی ب، " نقشه زمین‌شناسی ۱:۲۵۰۰۰ خارتوران، سازمان زمین‌شناسی کشور (۱۳۶۶).
- [۱۱] نواب مطلق ا، " نقشه زمین‌شناسی ۱:۱۰۰۰۰ ابریشم رود، سازمان زمین‌شناسی کشور (۱۳۸۴).
- [۱۲] خلعتبری جعفری م، " نقشه زمین‌شناسی ۱:۱۰۰۰۰ عباس‌آباد، سازمان زمین‌شناسی کشور (۱۳۷۷).
- [۱۳] قاسمی ا، حاجی حسینی ا، " نقشه زمین‌شناسی ۱:۱۰۰۰۰ دره دایی، سازمان زمین‌شناسی کشور (۱۳۸۴).
- [۱۴] رحمتی ایلچی م، " سرح نقشه زمین‌شناسی ۱:۱۰۰۰۰ رزوه، سازمان زمین‌شناسی کشور (۱۳۸۲).
- [۱۵] قاسمی ح، آسیابانها، " معرفی و تفکیک رخدادهای دگرگونی منطقه دلبر، جنوب شرق بیارجمند، ایران مرکزی" ، مجله پژوهشی دانشگاه اصفهان، (۱۳۸۵) صفحات ۲۳۱ تا ۲۴۷.
- [16] Hassanzadeh J., Stockli D., Horton B., Axen G., Stockli L., Grove M., Shmitt A., Walker D., "U-Pb zircon geochronology of late Neoproterozoic-Early Cambrian granitoids in Iran", Implications for paleogeography, magmatism, and exhumation history of Iranian basement, 2008. Tectonophysics 451, p 71-96.
- [۱۷] عزیزی م، "پترولوزی و ژئوشیمی توده گرانیتیوئیدی سفیدسنگ و سنگ‌های دگرگونی میزبان آن (جنوب بیارجمند)"، پایان نامه کارشناسی ارشد، دانشکده علوم زمین، دانشگاه صنعتی شهرورد (۱۳۹۱).
- [۱۸] حسینی ح، "پترولوزی و ژئوشیمی گرانیت بند هزارچاه بیارجمند"، پایان نامه کارشناسی ارشد، دانشکده زمین‌شناسی، دانشگاه تهران (۱۳۷۴).
- [۱۹] عابدی ز، "پترولوزی و ژئوشیمی توده گرانیتیوئیدی میامی (شرق شهرورد)"، پایان نامه کارشناسی ارشد، دانشکده علوم زمین، دانشگاه صنعتی شهرورد (۱۳۸۹).
- [20] Rahmati Ilkhchi M., Faryad S., V Holub F., Frank W., "Magmatic and metamorphic evolution of the Alvand plutonic complex in Sanandaj-Sirjan Zone (Iran): New evidence for Jurassic magmatism", Journal of Asian Earth Sciences (2010) 668–683p.

- implications for mantle composition and processes.* In: Saunders, A.D., Norry, M.J. (Eds.)", *Magmatism in the Ocean Basins*. Geol. Soc. London Spec. Publ. 42 (1989) 313–345.
- [32] Falloon T.J., Green D.H., Hatton C.J., Harris K.L., "Anhydrous partial melting of a fertile and depleted peridotite from 2 to 30 kb and application to basalt petrogenesis", *Journal of Petrology* 29 (1988) 1257–1282.
- [33] Coban H., "Basalt magma genesis and fractionation in collision-and extension-related provinces: A comparison between eastern", *central and western Anatolia Earth-Science Reviews* 80, (2007) 219-238.
- [34] Ellam R. M., Cox K. G., "An interpretation of Karoo picritic basalts in terms of interaction between asthenospheric magmas and the mantle lithosphere", *Earth and Planetary Science Letters* 105 (1991) 330-342.
- [35] Shervais J. W., "Ti-V plots and the petrogenesis of modern nephroitic lavas", *Earth and Planetary Science Letters* 59 (1982) 101-118.
- [36] Floyd P. A., Kelling G., Gokcen S. L., Gokcen N. "Geochemistry and tectonic environment of basaltic rocks from the Misis ophiolitic Melange", South Turkey. *Chemical Geology* 89 (1991) 263-280.
- [37] Bagas L., Bierlein F. P., English L., Anderson J. A. C., Maidment D., Huston D. L., "An example of a Palaeoproterozoic back-arc basin: Petrology and geochemistry of the ca. 1864 Ma Stubbins Formation as an aid towards an improved understanding of the Granites-Tanami rogen", Western Australia. *Precambrian Research* 166 (2008) 168-184.
- [38] Chamberlain K.R., Bowring S.A., "Apatite–Feldspar U–Pb thermochronometer: A reliable, mid-range (450 °C), diffusion-controlled system", *Chemical Geology* 172 (1–2) (2000) 173–200.
- [39] Li Q.L., Li X.H., Liu Y., Tang G.Q., "Precise U–Pb and Pb–Pb dating of Phanerozoic baddeleyite by SIMS with oxygen flooding technique", *Journal of Analytical Atomic Spectrometry* 25 (2010a) 1107–1113.
- [40] Wilmsen M., Fu rsich F.T., Seyed-Emami K., Majidifard M.R., Taheri J., "The Cimmerian Orogeny in northern Iran", tectono-stratigraphic evidence from the foreland. *Terra Nova*, 21 (2009) 211–218.
- [41] Brunet M.F., V. Korotaev M., V. Ershov A., M. Nikishin A., "The South Caspian Basin: a review of its evolution from subsidence modeling", *Sedimentary Geology* 156 (2003) 119-148.
- of the Shotur kuh metamorphic complex (Central Iran)", *Earth science journal* (2009).*
- [۲۱] رحمتی ایلخچی م., "نگرشی دوباره بر مجموعه سنگهای دگرگونه شمال خاوری تردد", بیست و یکمین گردهمایی علوم زمین، تهران، (۱۳۸۱) صفحات ۴۵۰ تا ۴۵۲.
- [22] Seyed-Emami K., Fursich F.T., Wilmsen M., Cecca F., Majidifard M.R., Schairer G. Shekarifard A., "Stratigraphy and ammonite of the upper Shemshak Formation (Toarcian-Aalenian) at Tazareh, eastern Alborz, Iran", *J.Of. Asian Earth Science* 28 (2006) 259-275.
- [23] Leake B. E., Woolley A. R., Arps C. E. S., Birch W. D., Gilbert M. C., Grice J. D., Hawthorne F. C., Kato A., Kisch H. J., Krivovichev V. G., Linthout K., Laird J., Mandarino J. A., Maresch W. V., Nickel E. H., Rock N. M. S., Schumacher J. C., Smith D. C., Stephenson N. C. N., Ungaretti L., Whittaker E.J.W., Youzhi G., "Nomenclature of amphiboles: report of the subcommittee on amphiboles of the International Mineralogical Association", Commission on new minerals and mineral names. *Canadian Mineralogist* 35(1997) 219–246.
- [24] Stein E., Dietl C., "Hornblende thermobarometry of granitoids from the Central Odenwald (Germany) and their implications for the geotectonic development of the Odenwald", *Mineralogy and Petrology* 72 (2001) 185–207.
- [25] Schmidt M. W., "Amphibole composition in tonalite as a function of pressure: an experimental calibration of the Al in hornblende barometer", *Contributions to Mineralogy and Petrology* 110 (1992) 304–310.
- [26] Middlemost E.A.K., "Magma and magmatic rocks", Longman Group, London (1985).
- [27] Pearce J.A., Cann J.R., "Tectonic setting of basic volcanic rocks determined using traceelement analyses", *Earth and Planet.Sci. Lett.* 19 (1973) 290-300.
- [28] Rollinson H.R., "Using geochemical data: evaluation, presentation", interpretation Longman.
- [29] Winchester Jce J.A., Floyd P.A., "Geological magma type discrimination: application to altered and metamorphosed basic igneous rocks", *Earth and Plan. Sci.* 28 (1976) 459-469.
- [30] Nakamura N., "Determination of REE, Ba, Fe, Mg, Na and K in carbonaceous and ordinary chondrites", *Geochim. Cosmochim. Acta*, 38 (1974) 757 – 775.
- [31] Sun S.S., McDonough W.F., "Chemical and isotopic systematics of oceanic basalts:

- [46] Stampfli G.M., Borel G.D., "A plate tectonic model for the Paleozoic and Mesozoic constrained by dynamic plate boundaries and restored synthetic oceanic isochrones", *Earth Planet. Sci. Lett.*, 196 (2002) 17–33.
- [47] Golonka J., "Plate tectonic evolution of the southern margin of Eurasia in the Mesozoic and Cenozoic", *Tectonophysics* 381 (2004) 235–273.
- [48] Fu rsich F.T., Wilmsen M., Seyed-Emami K., Majidifard M.R., "The Mid Cimmerian tectonic event (Bajocian) in the Alborz Mountains, northern Iran: Evidence of the break-up unconformity of the South Caspian Basin. In: South Caspian to Central Iran Basins (M.-F. Brunet)", M. Wilmsen and J. Granath, eds), *Geol. Soc. Lond. Spec. Publ.*, 312 (2009b.) 189–203.
- [42] Alavi M., "Tectonostratigraphic synthesis and structural style of the Alborz Mountains system in northern Iran", *J. Geodyn.*, 21 (1996) 1–33.
- [43] Bagheri S., Stampfli G.M., "The Anarak, Jandaq and Posht-e-Badam metamorphic complexes in central Iran: New geological data, relationships and tectonic implications", *Tectonophysics* 451 (2008) 123–155.
- [44] Fu rsich F.T., Wilmsen M., Seyed-Emami K., Cecca F., Majidifard M.R., "The upper Shemshak Formation (Toarcian-Aalenian) of the Eastern Alborz (Iran)", *Biota and palaeoenvironments during a transgressive-regressive cycle. Facies*, 51 365–384.
- [45] Zonenshain L.P., Le Pichon X., "Deep basins of the Black Sea and Caspian Sea as remnants of Mesozoic backarc basins", *Tectonophysics*, 123 (1986) 181–211.